

تحلیل فضایی امواج گرمایی ایران

الهه اعتمادیان، کارشناسی ارشد آب و هواشناسی سینوپتیک، دانشگاه فردوسی مشهد، مشهد، ایران
رضا دوستان^۱، استادیار آب و هواشناسی، گروه جغرافیا، دانشگاه فردوسی مشهد، مشهد، ایران.

دریافت مقاله: ۱۳۹۵/۰۶/۲۶

پذیرش نهایی: ۱۳۹۵/۱۲/۱۶

چکیده

مخاطرات آب و هوایی از جمله رخ داده های آب و هوای کره زمین می باشند، یکی از این پدیده ها، وقوع موج گرما است. برای تعیین الگوی مکانی امواج گرمایی ایران، دمای حداکثر روزانه ۴۹ ایستگاه سینوپتیک در دوره ۲۰۱۰-۱۹۸۰ استفاده گردید. با استفاده از شاخص صدک ۹۵ ام، آستانه های دمایی متفاوت ماهانه، تعیین، و تداوم سه روز و بیشتر در هر ماه میلادی از ایستگاه، موج گرما تعریف شد. آستانه دمایی متفاوت ماهانه و ایستگاه، منجر به شناسایی موج گرما برای کل ایران گردید. بیشینه آستانه دما در نیمه جنوبی و کمینه در نیمه شمالی و نقش ارتفاعات چشمگیر است، اما بیشترین امواج گرمایی ایران در نیمه غربی و به سمت شرق کاهش دارند. از منطقه کوهپایه داخلی ایران به سمت شمال و جنوب کشور (سواحل) و مناطق مرکزی، این پدیده اقلیمی کاهش دارد. سری های زمانی نشان می دهد، مجموع فراوانی دهه ای امواج گرما در تمام ماه ها روند افزایشی داشته است، با این تفاوت که ماه های دوره سرد سال روند افزایشی معنادارتری و دوره گرم سال معناداری کمتری دارند. فلات ایران طی دهه ۲۰۰۰ بیشترین فراوانی امواج گرما را نسبت به دو دهه دیگر تجربه کرده است.

واژگان کلیدی: امواج گرمایی، تحلیل فضایی، صدک ۹۵ ام، ایران.

مقدمه

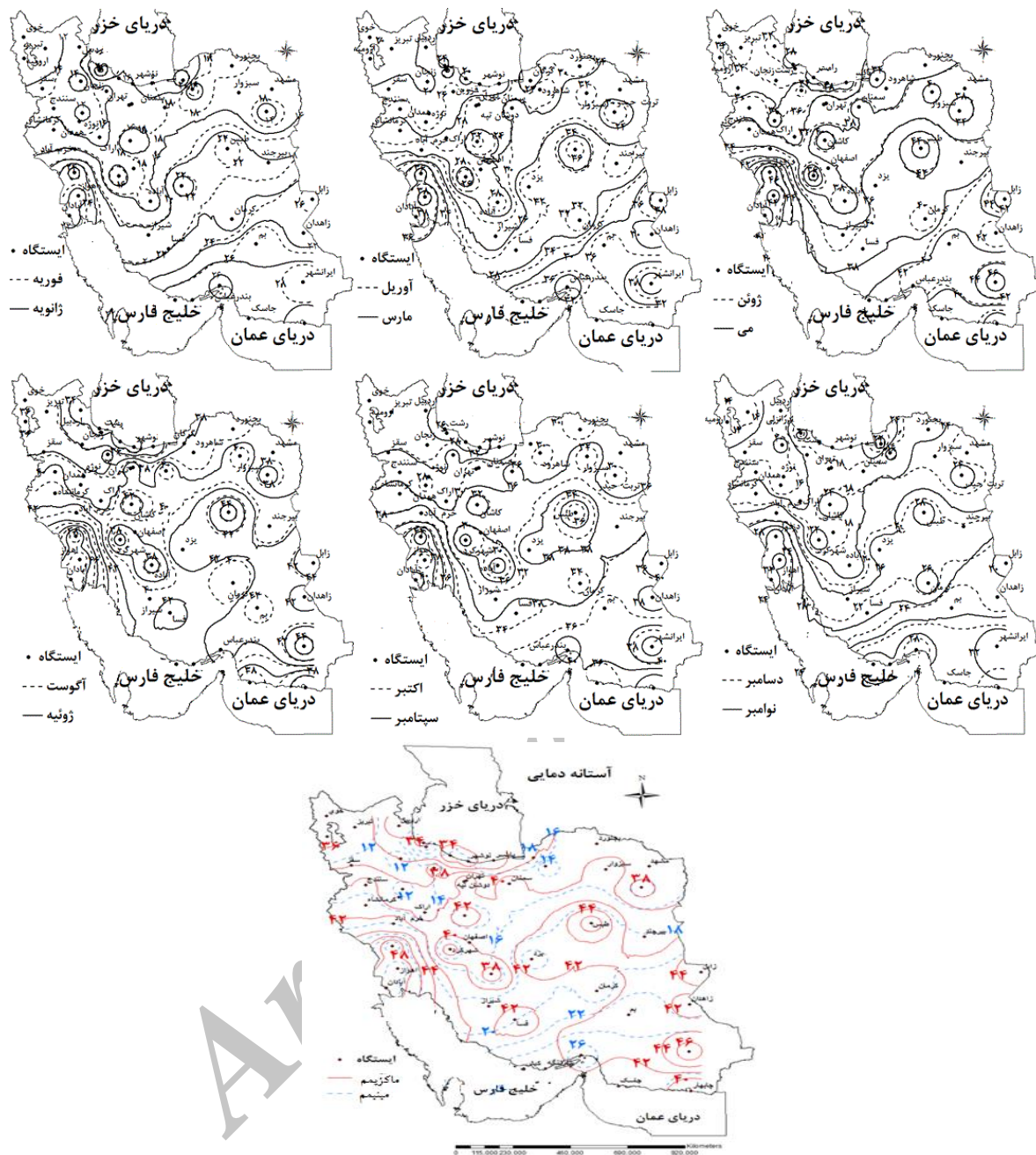
دما یکی از مهم ترین عناصر آب و هواشناسی است و افزایش دما در قالب امواج گرما، زندگی انسان از جمله معماری، آسایش، حمل و نقل، کشاورزی و صنعت را تحت تأثیر قرار میدهد (مجرد و همکاران، ۱۳۹۴). پدیده‌های حدی اقلیمی از قبیل، بارش شدید (سیل‌ها)، بادهای تند (طوفان)، دماهای بالا (امواج گرمایی) و غیره به سبب ندرت در وقوع و عدم سازگاری جوامع بشری و اکوسیستم با آن‌ها، خسارات زیادی را موجب می‌شوند (Diaz and Murnane, 2008). امروزه یکی از مهمترین نگرانی‌ها از مخاطرات محیطی، رخداد شرایط حدی طولانی مدت و پرتداوم با دوره‌های بارشی کم و حداکثر دما، که به طور گسترده بر جوامع انسانی تأثیرگذار است (اسمعیل‌نژاد و همکاران، ۱۳۹۲). امواج گرمایی از تظاهرات اصلی تغییرات اقلیمی، به لحاظ فراوانی وقوع و صدمات جانی و مالی، بسیار حائز اهمیت می‌باشند (Haddow et al, 2008). امروزه به دو دلیل پدیده موج گرما مورد توجه پژوهشگران حوادث فرین قرار دارد، یکی به دلیل اثرات منفی بر انسان (Changnon et al, 1996) و دیگری، افزایش وقوع، طول مدت و شدت این پدیده است (علیجانی، ۱۳۹۲). فراوانی وقوع امواج گرما در سا لهای اخیر، یکی از نمودهای نوسانات اقلیمی و فرین‌های جوی است (Matthies et al, 2008)، که منجر به خسارت‌های فراوان مالی و افزایش مرگ و میر میشوند. دماهای بسیار گرم و یا بسیار سرد به عنوان عامل خطر یا بحران برای انسان تعریف شده‌اند. همه ساله افراد بیشتری به جهت گسترش و وقوع موج‌های گرما و یا بوران‌های سرمای هلاک میشوند (علیجانی، ۲۰۰۸). از موج‌های گرمایی تعریف عمومی و روشنی وجود ندارد (Robinson, 2001)، از منظر آماری امواج گرمایی به نوسانات مثبت یا فرین‌های بالای میانگین دمای حداکثر روزانه، که طی روزها یا هفته‌ها و ماه‌های متوالی در فضاهای جغرافیایی خاص استمرار دارند، گفته می‌شود. با توجه به تعاریف موجود، دو بعد زمانی و فضایی در وقوع یا عدم وقوع موج گرما اهمیت دارد (Smith, 2013). بعد فضایی با تعیین آستانه دمایی در هر مکان مرتبط است. آستانه وقوع موج گرما در انگلستان، دمای ۲۷ درجه سلسیوس، ولی این آستانه دمایی در ایران، بیشتر است. بعد زمانی هم با تعداد روزهای تداوم موج گرما مرتبط است. در این رابطه هر دمایی بالاتر از یک آستانه مشخص، به صورت منفرد و یک روزه موج گرما نیست، بلکه موج گرما با استمرار زمانی همراه است (قویدل رحیمی، ۱۳۹۰). نخستین گام در جهت کنترل یا حداقل کاهش آسیب‌های ناشی از این دسته از امواج گرمایی، تعریف، شناخت و شناسایی آنها با روش‌های علمی و مطالعه سامانه‌های همدیدی ایجادکننده آنها، کشف راه‌هایی برای کاهش اثرات زیان بار امواج گرمایی بر روی سلامت عمومی و همچنین شناسایی مناطق آسیب پذیر در ارتباط با امواج گرمایی می‌باشند (Kovats and Hajat, 2008). انتخاب شاخص‌های مناسب برای بررسی وقایع فرین در رابطه با تغییرات اقلیمی از موارد بسیار مهمی است، که باید مورد توجه محققان قرار گیرد. این شاخص‌ها باید مشخص و دقیق بوده و از داده‌های درازمدت و همگن به دست آیند (شیرمحمدی، ۱۳۹۱). موقعیت مکانی ایران به گونه‌ای است، که در محل تلاقی و حاکمیت سامانه‌های بسیار متفاوتی با منشأ حاره، برون حاره و جنب حاره‌ای قرار دارد (اسدی، ۱۳۹۳). این موقعیت جغرافیایی، دو پیامد مهم برای کشور ایران به دنبال دارد، نخست، کاهش بارش دریافتی به سبب حاکمیت پرفشار جنب حاره و پایداری جو در بخشی از سال، و اقلیم نسبتاً گرم در ایران است، که البته، پیچیدگی ناهمواری ایران تفاوت دمایی بین بخش‌های مختلف کشور را موجب می‌شود (علیجانی، ۱۳۸۵). مطالعه امواج گرمایی، به ویژه برای مناطقی که به رویدادهای اقلیمی حساسند، امری بسیار ضروری و مهم است. بررسی این مخاطره اقلیمی در ایران، به جهت کمبود نسبی بارش،

وابستگی فراوان منابع تأمین آب شیرین به ذخایر برف و ماندگاری زمستانی آنها، ضروری است (براتی، ۱۳۸۴). منتون و همکاران (۲۰۰۱)، با بررسی فراوانی دمای بیشینه و کمینه بالاتر از صدک ۹۹ در منطقه جنوب شرق آسیا، افزایش فراوانی روزهای داغ و شب های گرم را اثبات کردند. بررسی های دگاتانو و آلن (۲۰۰۲)، بر روی صدک ۹۰، ۹۵، ۹۹ دماهای کمینه و بیشینه روزانه به عنوان نمایه های فرین، نشان داد، تغییرات این نمایه ها در سراسر ایالات متحده، به شدت تحت تأثیر توسعه شهرنشینی می باشد. بررسی موج های گرم و روزهای گرم شمال مکزیک نشان داد، بیشینه های تابستانی از ۱۹۵۱ تا میانه ۱۹۸۰، دوره های گرمایی و سرمایشی را تجربه کرده و بعد از این دوره، روند افزایشی دارند (Cueto et al, ۲۰۱۰). زانک و همکاران (۲۰۰۸)، مقادیر بالاتر از ۹۰ درصد دماهای فرین را به عنوان آستانه ی تفکیک بیشینه دماهای فرین در نظر گرفته و نشان داد، دماهای فرین در قسمت های غربی و شمالی حوضه ی رودخانه ی زرد، روند افزایشی معنی داری داشته و در بیشتر ایستگاه های مرکزی و پایین دست حوضه، معنی دار مشاهده نشد. یونکاشویچ و توشیچ (۲۰۰۹) با استفاده از روش های زمین آماری، امواج گرمایی صربستان را بررسی و نشان داد، امواج گرمای تابستان ۱۹۵۲ با تداوم ۱۶ روز در شهر سمودروسکا و ۲۱ روز در شهر نیش و همچنین موج گرمای ۱۸ روزه ۱۹۹۴ در بلگراد، طولانی ترین امواج گرمایی صربستان می باشند. دینگ و همکاران (۲۰۱۰)، در مطالعه ای به بررسی روند تغییرات روزهای گرم و امواج گرمایی چین طی دوره ۱۹۶۱ تا ۲۰۰۷ پرداختند. آنها دماهای بالاتر از ۳۵ درجه سانتیگراد و مقادیر بالاتر از ۹۰ درصد دماهای حداکثر را به عنوان آستانه روزهای گرم قرار داده و نشان داد، که بعد از ۱۹۹۰، افزایش چشمگیری در روزهای گرم حادث گردید. دایکسایت و چن (۲۰۱۰)، دماهای فرین مناطق کشاورزی جنوب استرالیا (ویکتوریا) را ناحیه بندی کردند. نتایج آنها نشان داد، در سال ۲۰۰۳، حدود ۵۸ درصد مناطق مورد مطالعه در معرض خطر دماهای فرین بالا و حدود ۷۳ درصد مناطق تحت تأثیر دماهای فرین پایین می باشند. در حالیکه در سال ۲۰۰۴، حدود ۴۶ درصد مناطق در معرض خطر دماهای فرین بالا و حدود ۳۹ درصد مناطق تحت تأثیر دماهای فرین پایین بوده اند. با توجه به شیب مثبت دما و افزایش فرین های دمایی (محمدی و تقوی، ۱۳۸۴) و تغییرات زیاد مقادیر حداکثر دما در ایران (جهانبخش و ترابی، ۱۳۸۳)، هدف اصلی این پژوهش، پراکنش زمانی و مکانی امواج گرمایی در فلات ایران می باشد.

داده ها و روش کار

به منظور تحلیل فضایی امواج گرمایی در ایران، دمای حداکثر روزانه ثبت شده از ۴۹ ایستگاه همدید کشور برای دوره نرمال اقلیمی ۳۱ ساله (۲۰۱۰-۱۹۸۰) استفاده شد (جدول ۱، شکل ۱). به منظور تعیین امواج گرمایی، ابتدا با استفاده از شاخص صدک ۹۵ ام، آستانه های دمایی برای هر ماه و در هر ایستگاه جداگانه مشخص گردید. دلیل مطالعه امواج گرمایی در مقیاس ماهانه، تفاوت های دمایی و پیامدهای متفاوت در مناطق مختلف ایران است، چنانکه به عنوان مثال، دمای حداکثر ۳۰ درجه در اردیبهشت ماه برای مناطق جنوبی ایران طبیعی است، اما برای مناطق شمالی ایران یک موج گرما بوده و خسارت به همراه دارد. از طرفی در یک ایستگاه نیز آستانه دمایی سالانه برای کل سال مناسب نیست، به عنوان مثال، فرضاً برای یک ایستگاه، آستانه دمایی ۴۰ درجه در سال به عنوان موج گرما تعریف می شود، اما در ماه اردیبهشت، دمای ۳۵ درجه در آن منطقه موجب خشک شدن گل گندم و پوک شدن دانه شده، که یک موج گرما بوده است. این در

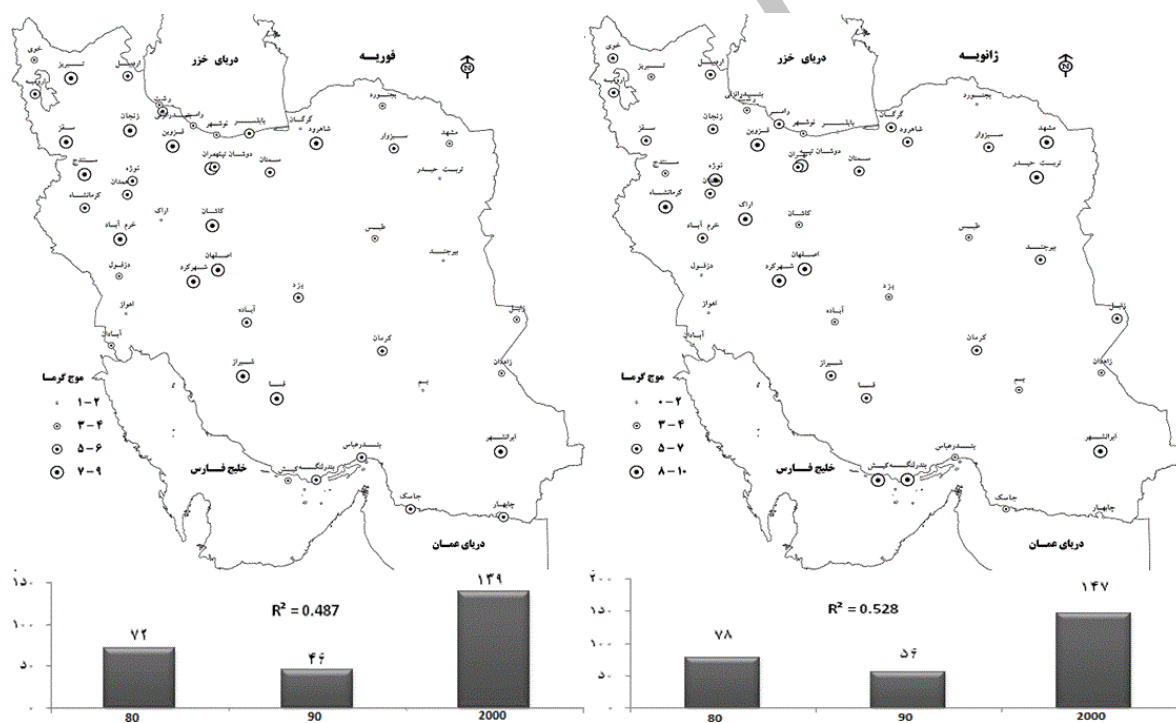
آستانه‌ها متعلق به ایستگاه‌های ساحلی شمال و کوهستانی شمال غرب می‌باشند. به طور کلی، کمینه‌های آستانه دمایی در نیمه شمالی و در راستای ارتفاعات و بیشینه‌ها در نیمه جنوبی کشور قابل مشاهده است. در این متغیر دمایی نیز، نقش عرض جغرافیایی و ارتفاعات در خطوط هم آستانه دماهای فرین مشابه دیگر ویژگیهای دمایی در ایران، مشهود است. چنانکه تغییرات مکانی این پارامتر دمایی در طول سال، از سواحل دریای خزر و شمال غرب ایران به جنوب شرق و جنوب غرب ایران، افزایش نشان می‌دهد. چنانکه، اگر از بیرجند به دزفول خطی افقی ترسیم کنیم، آستانه‌های فرین دمایی در همه ماه‌های سال از این عرض جغرافیایی به بالا کاهش و به طرف پایین، افزایش نشان می‌دهند (شکل ۲). طوریکه در مقیاس ماهانه، سه ایستگاه ارومیه، تبریز و زنجان (ایستگاه‌های کوهستانی شمال غربی)، در ماه‌های ژانویه و فوریه به ترتیب با آستانه دمایی ۱۰ و ۱۲ درجه سلسیوس، کم‌ترین آستانه و ایستگاه آبادان در ژانویه، بم و بندرعباس در ماه فوریه با آستانه‌های دمایی ۲۳ و ۲۸ درجه سلسیوس بیش‌ترین آستانه دمایی و نوسان ۱۱ تا ۱۶ درجه ای در کل ایران مشهود است. در ماه مارس، ارومیه و انزلی با آستانه دمایی ۱۸ درجه و ایرانشهر با ۳۵ درجه سلسیوس کم‌ترین و بیش‌ترین آستانه دمایی با نوسان ۱۷ درجه ای را تجربه می‌کنند. در ماه‌های فصل بهار، آوریل، مه و ژوئن، انزلی به صورت مشترک در هر سه ماه به ترتیب با آستانه دمایی ۲۲، ۲۶ و ۳۰ درجه سلسیوس کم‌ترین آستانه دمایی و در ژوئن علاوه بر ایستگاه انزلی، رامسر و نوشهر نیز کم‌ترین آستانه دمایی را دارند. در ماه آوریل، ایستگاه‌های آبادان، اهواز و زابل با ۳۹ درجه سلسیوس، در ماه مه ایستگاه‌های ایرانشهر، آبادان و اهواز با ۴۵ درجه سلسیوس، در ژوئن ایستگاه آبادان و اهواز با آستانه دمایی ۴۸ درجه سلسیوس، بیش‌ترین آستانه‌هایی دمایی در کل ایران را نشان می‌دهند. در ماه‌های مذکور بر خلاف ماه‌های زمستان، به استثنای مارس، مناطق کوهستانی با کمینه آستانه دمایی و ایستگاه‌های ساحلی شمال، کمترین آستانه دمایی را در کل ایران دارا می‌باشند. در ماه‌های تابستان، ژوئیه، اوت و سپتامبر، ایستگاه‌های رامسر، نوشهر به صورت مشترک با آستانه دمایی ۳۰ و ۳۲ درجه سلسیوس، کم‌ترین آستانه دمایی، با این تفاوت که علاوه بر رامسر و نوشهر در ژوئیه ایستگاه اردبیل، ایستگاه اردبیل و انزلی در ماه اوت، و ایستگاه انزلی در سپتامبر، کمترین آستانه دمایی را تجربه می‌کنند. ایستگاه آبادان به صورت مشترک در هر سه ماه با آستانه دمایی ۴۶ و ۵۰ درجه سلسیوس، بیش‌ترین آستانه دمایی، و در ژوئیه علاوه بر آبادان، اهواز و دزفول نیز در زمره مناطق با بیش‌ترین آستانه دمایی قرار دارند. در ماه‌های تابستان، بیشتر ایستگاه‌های ساحلی شمال، کمینه و ایستگاه‌های دشت جنوب غربی (خوزستان) با بیش‌ترین آستانه دمایی مشهود است. در اکتبر، نوامبر و دسامبر (پاییز)، به ترتیب ایستگاه انزلی با آستانه دمایی ۲۵، ارومیه با ۱۸ و تبریز با ۱۳ درجه سلسیوس، کم‌ترین، و ایستگاه آبادان و اهواز با ۴۱، ایرانشهر و بندرعباس با ۳۴ و بندرعباس و چابهار با ۲۹ درجه سلسیوس، بیش‌ترین آستانه دمایی را در کل ایران دارند. طبیعی است، به طور کلی این پارامتر دمایی مرتبط با فرین‌های دمایی در ایران، مشابه پراکنش مناطق حداکثر دما در ایران، تابع عرض جغرافیایی و توزیع ارتفاعات در ایران است. اما پراکنش فضایی رخداد پدیده موج گرما به عنوان یک مخاطره طبیعی، متفاوت از پراکندگی آستانه‌های دمایی و حداکثر دماها در ایران می‌باشد.



شکل ۲: آستانه دمایی، ماهانه، حداقل و حداکثر در ایران

توزیع مکانی و دهه ای امواج گرمایی: پراکنش مکانی و دهه ای ماهانه امواج گرمایی در ایران نشان داد (شکل ۳-۹)، در ماه ژانویه، مناطق کوهستانی زاگرس مرکزی و کوهپایه ای غربی تا البرز میانی و کوهپایه ای شمال شرقی، بیشترین فراوانی ها امواج گرمایی با بیش از ۹ موج را تجربه کرده اند و ایستگاه های پست جنوب غربی، کوهپایه ای جنوب شرقی و بعد از آن محدوده سواحل شمال، کمترین رخداد موج گرما، طی دوره ۳۱ ساله را داشته اند. به عبارتی در این ماه، امواج گرمایی از غرب به شرق در جهت مداری روند کاهشی دارد. در ماه ژانویه، ایستگاه های اراک، اصفهان، خوی و ارومیه در سال ۲۰۱۰ با سه موج

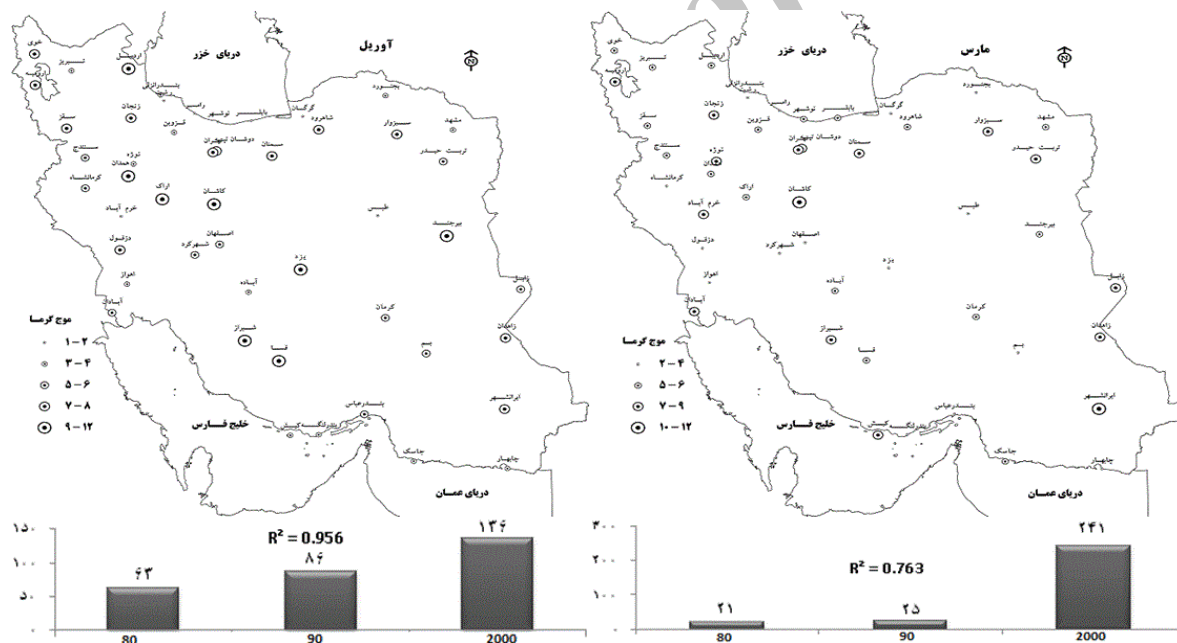
گرما در سال بیش‌ترین فراوانی موج گرما، و در سال ۱۹۸۷ پس از ۲۰۱۰، بیشینه رخداد موج گرما حادث گردید. بررسی زمانی امواج گرما در ایران طی ۳ دهه حاکی است، که دهه ۲۰۰۰ با ۱۴۷ موج گرما، بیش‌ترین فراوانی و دهه ۱۹۹۰ با ۵۶ رخداد، کم‌ترین فراوانی را طی دوره مطالعه نشان می‌دهد. مجموع فراوانی دهه‌ای موج گرما با مقدار $R^2 = 0.53$ ، روند افزایشی داشته است. در ماه فوریه نیز، بیش‌ترین موج گرما، مربوط به ایستگاه‌های کوهپایه‌ای جنوب البرز و منطقه کوهپایه ای غرب زاگرس و شمال غربی ایران با بیش از ۹ موج و کم‌ترین فراوانی در طی دوره مورد مطالعه با کمتر از ۶ موج گرما، متعلق به منطقه جنوب‌غربی، مناطق شرقی و سواحل خزری می‌باشد. در این ماه از غرب به شرق و به سمت سواحل شمال و جنوب کشور از فراوانی موج گرما کاسته می‌شود. در ماه فوریه، سنج با فراوانی ۳ موج، بیش‌ترین وقوع و در این ماه از ۱۹۸۸ تا ۱۹۹۵، پدیده موج گرما در ایران حادث نشد و در سال‌های ۲۰۱۰، ۲۰۰۴، ۱۹۹۹ و ۱۹۸۷، بیش‌ترین رخداد امواج گرما وجود دارد. بررسی زمانی امواج گرما در ایران طی سه دهه، حاکی از روند افزایشی در مجموع فراوانی دهه‌ای، با مقدار معناداری $R^2 = 0.49$ می‌باشد. در این ماه، دهه ۲۰۰۰ بیش‌ترین و دهه ۱۹۹۰، کم‌ترین فراوانی موج گرما در ایران حادث شد. در این دو ماه که جزء ماه‌های زمستان در ایران می‌باشند و مناطق بیشینه در غرب و شمال غرب در مسیر ورود سیکلونها و بادهای غربی قرار دارند، ریزش توده‌های هوا با رطوبت کم و افزایش دما منجر به موج گرما در مناطق کوهپایه ای می‌شود.



شکل ۳: امواج گرمایی ماهانه ایران و تغییرات دهه ای امواج

در ماه مارس بیش‌ترین فراوانی موج گرما در ایستگاه‌های کوهپایه‌ای داخلی البرز مرکزی، غرب زاگرس میانی تا کاشان و شرق ایران مشاهده می‌شود. در این ماه، به سمت نیمه شمالی یا ایستگاه‌های پست جنوب‌غربی و مرکزی، فراوانی‌ها امواج گرمایی کمتر شده، و در سواحل ایران به حداقل می‌رسد. در این ماه، ایستگاه‌های آبادان و زابل در سال ۲۰۰۸ با فراوانی ۳

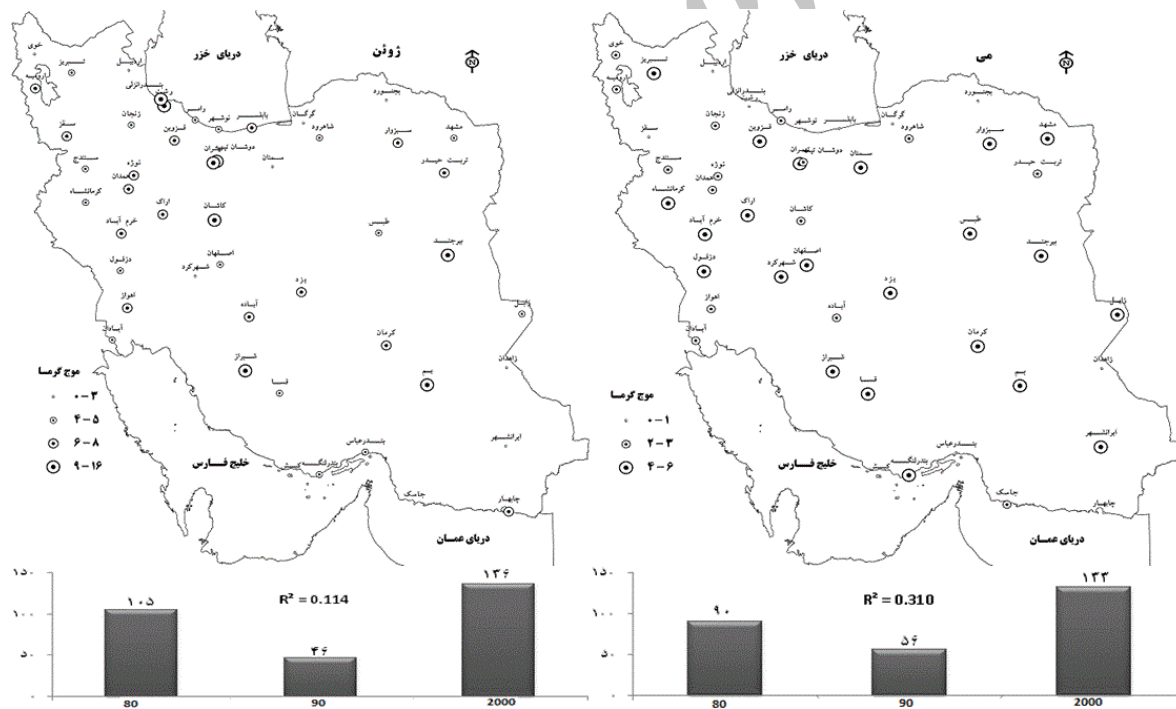
موج در سال، بیشترین تعداد موج گرما را تجربه کرده اند. سالهای ۲۰۱۰، ۲۰۰۸ و ۲۰۰۴، بیشینه رخداد امواج گرمایی بوده و در دو دهه دیگر، امواج گرما بسیار کم است. بررسی زمانی امواج گرمای این ماه در ایران طی ۳ دهه نشان می‌دهد، دهه ۲۰۰۰ با ۲۴۱ موج گرما، بیشترین فراوانی را داشته و نسبت به دو دهه دیگر، افزایش چشمگیری دارد. مجموع فراوانی دهه‌ای با مقدار $R^2=0.76$ ، روند افزایشی معناداری را در طی دوره مورد مطالعه نشان می‌دهد. با شروع فصل بهار، در ماه آوریل، تعداد موج گرما در کل ایران بجز سواحل دریای خزر افزایش نشان می‌دهد. در این ماه تابش و دامنه‌ها در ایجاد رویدادهای جوی و موج گرما، و به طور کلی عوامل محلی نقش تعیین کننده دارند. بنابراین ایستگاه‌هایی در راستای رشته کوه‌های زاگرس، منطقه کوهپایه‌ای شرقی، بیشترین و ایستگاه‌های ساحلی شمال، کمترین موج گرما را تجربه کردند. به عبارتی دیگر، از بخش‌های مرکزی ایران به سمت شمال و جنوب از فراوانی موج گرما کاسته می‌شود. در ماه آوریل در طی دوره مورد مطالعه، بیشترین فراوانی موج گرما با ۳ مورد در سال مربوط به ایستگاه‌های بیرجند و دزفول به ترتیب در سال‌های ۲۰۰۰ و ۱۹۹۹ حادث گردید. همچنین در سال‌های ۲۰۰۵ و ۲۰۰۸، بیشتر ایستگاه‌های ایران، موج گرما را تجربه کرده اند. بیشینه وقوع پدیده موج گرما در ایران در دهه ۲۰۰۰ با ۱۳۶ مورد بوده و نسبت به دو دهه دیگر افزایش داشته است. بررسی زمانی امواج گرما در ایران طی ۳ دهه حاکی از وجود روند افزایشی در مجموع فراوانی دهه‌ای با مقدار $R^2=0.96$ ، که بیانگر روند معناداری امواج گرمایی ماه آوریل در طی زمان است.



شکل ۴: ادامه شکل قبل

در ماه مه، بیشینه وقوع امواج گرمایی در کوهپایه داخلی زاگرس و مرکز ایران قرار دارد و به اطراف کاهش نشان می‌دهد، در این ماه در ایران نسبت به دیگر ماه‌های سال در طی دوره مورد مطالعه، تعداد امواج گرمایی کاهش چشمگیری دارند. در این ماه، ایستگاه‌های کوهپایه‌ای داخلی شمالی و غربی بیشترین و ایستگاه‌های ساحلی شمال و جنوب کمترین فراوانی را

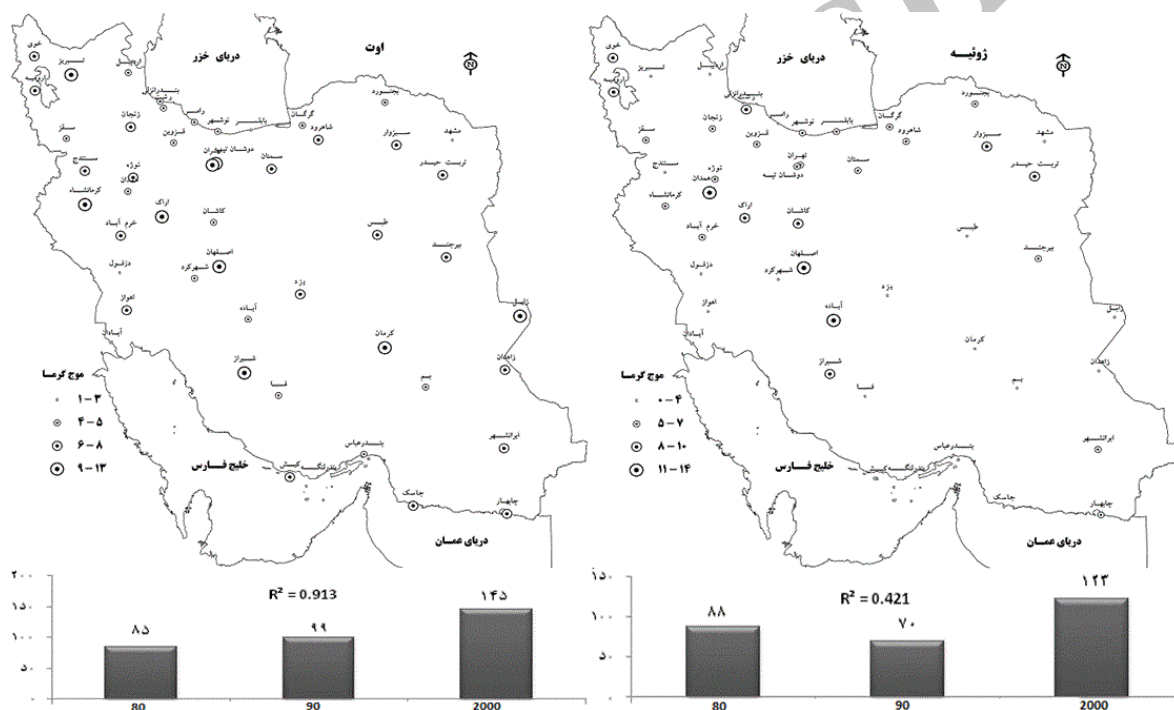
داراست و به سمت سواحل شمال و جنوب تعداد فراوانی موج گرما کاهش می‌یابد. ایستگاه‌های اردبیل، ایران‌شهر و طبس به ترتیب در سال‌های ۱۹۸۷ و ۱۹۹۹ با فراوانی ۳ مورد در سال، بیش‌ترین موج گرما را دارند. طی بررسی وقوع، سال‌های ۱۹۹۹ تا ۲۰۰۲، بیش‌ترین وقوع موج گرما در ایستگاه‌های ایران در این ماه مشاهده گردید. در این ماه نیز مشابه ماه‌های قبل، بیشینه وقوع پدیده موج گرما با ۱۳۳ مورد در ایران، در دهه ۲۰۰۰ حادث شد. بررسی زمانی امواج گرما در ایران طی ۳ دهه، حاکی از وجود روند افزایشی در مجموع فراوانی با مقدار معناداری ($R^2=0/3$) می‌باشد. در ماه ژوئن ایستگاه چابهار در سال ۱۹۸۳، بیش‌ترین فراوانی امواج گرما، ۳ مورد در سال، را تجربه کرده است. سال ۲۰۰۳، موج گرما در هیچ یک از ایستگاه‌های ایران رخ نداده است. در ماه ژوئن، تعداد امواج گرمایی نسبت به ماه قبل افزایش دارد و در بخش غالبی از البرز مرکزی و غربی تا مرکز ایران این افزایش وقوع مشاهده گردید (شکل ۵). ایستگاه‌های کوهپایه‌ای داخلی و کوهستانی غربی و شمالی و ایستگاه‌های اطراف دشت لوت، بیش‌ترین فراوانی را داشته است، و به سمت شمال و جنوب کشور (نواحی ساحلی)، فراوانی وقوع موج گرما کمتر می‌شود. به عبارتی، در این ماه فراوانی موج گرما بجز در تعدادی از ایستگاه‌های ساحلی شمال و کوهستانی شمال‌غرب در سایر نواحی زیاد بوده است، با این تفاوت که از بخش‌های مرکزی ایران به سمت سواحل جنوبی به نسبت از فراوانی آن کاسته می‌شود. بررسی زمانی امواج گرما در ایران طی ۳ دهه حاکی از وجود روند افزایشی غیر معنادار در مجموع فراوانی دهه‌ای با مقدار $R^2=0/11$ می‌باشد. در بین ماه‌های سال در کل ایران، در ماه ژوئن تغییرات در طی سه دهه، کمتر بوده است.



شکل ۵: ادامه شکل قبل

در ماه ژوئیه، بیشینه امواج گرمایی در زاگرس و کوهپایه آن و شمال شرق مشاهده گردید و به سمت مرکز، شرق و جنوب ایران، تعداد موج گرما کاهش دارد (شکل ۶). بیش‌ترین و کم‌ترین فراوانی امواج گرما به ترتیب مربوط به ایستگاه‌های

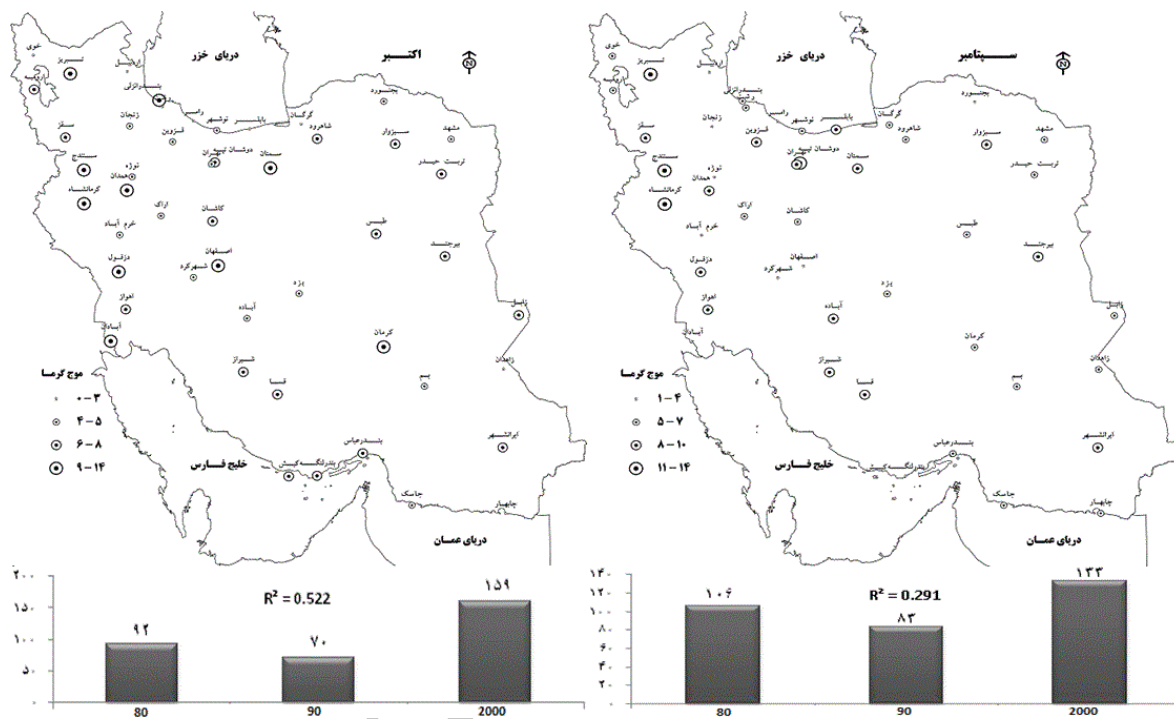
کوهپایه‌ای داخلی غربی، شمالی و پست جنوب‌غربی، ایستگاه‌های حاشیه دشت لوت و ایستگاه‌های ساحلی جنوب می‌شود. در این ماه از نواحی مرکزی ایران، به شمال و جنوب کشور موج گرما کاهش نشان می‌دهد. در ماه ژوئیه، ایستگاه‌های چابهار، اصفهان، خوی، سبزواری و سقز به ترتیب در سال‌های ۱۹۸۳، ۲۰۰۳، ۱۹۸۰، ۲۰۰۲ و ۲۰۱۰ و ۱۹۸۰ دارای بیش‌ترین فراوانی با ۳ موج گرما در سال می‌باشند. در این ماه نیز در سال ۲۰۱۰، بیشینه موج گرما در ایران حادث گردید. بررسی زمانی امواج گرما در ایران طی ۳ دهه نشان می‌دهد، که دهه ۲۰۰۰ با ۱۲۳ مورد بیش‌ترین فراوانی و روند افزایشی دهه‌ای با مقدار $R^2 = 0/4$ مشهود است. در ماه اوت، ایستگاه‌های راستای رشته کوه‌های البرز و زاگرس، فراوانی موج گرمای بیشتری داشته، و به سمت شمال کشور، تعداد موج گرما کاهش نشان می‌دهد (شکل ۶). در ماه اوت بیشینه فراوانی موج گرما در ایستگاه‌های چابهار و تربت در سال‌های ۱۹۹۳ و ۱۹۸۴، و در این ماه نیز فراوانی امواج گرما تا نیمه دوم دهه ۱۹۹۰ بجز سال ۱۹۸۳ کاهش داشته است. بررسی زمانی امواج گرما در ایران طی ۳ دهه نشان می‌دهد، دهه ۲۰۰۰ با ۱۴۵ مورد بیش‌ترین فراوانی را دارد و روند افزایشی دهه‌ای با مقدار $R^2 = 0/9$ ، طی دوره مطالعه مشاهده گردید.



شکل ۶: ادامه شکل قبل

در ماه سپتامبر، بخش غالبی از ایران دارای بیشینه موج گرما است و مناطق ساحلی جنوب و غرب دریای خزر، تعداد موج گرما کاهش نشان می‌دهد (شکل ۸). در این ماه، بیش‌ترین فراوانی با دو مورد در سال در تعداد زیادی از ایستگاه‌ها دیده می‌شود. در دهه ۲۰۰۰، بیش‌ترین فراوانی امواج گرمایی با ۱۳۳ موج حادث گردید. چنانکه ایستگاه‌های کوهپایه‌های البرز و زاگرس، بیش‌ترین فراوانی را داشته و ایستگاه‌های ساحلی جنوب کم‌ترین موج گرما را تجربه می‌کنند. بررسی زمانی امواج گرما در ایران طی ۳ دهه حاکی از وجود روند افزایشی دهه‌ای با مقدار $R^2 = 0/29$ می‌باشد. در ماه اکتبر، ایستگاه‌های ساحلی شمال و جنوب و ایستگاه‌های کوهپایه‌ای جنوب‌شرق، کم‌ترین فراوانی و ایستگاه‌های کوهپایه‌ای و کوهستانی غربی

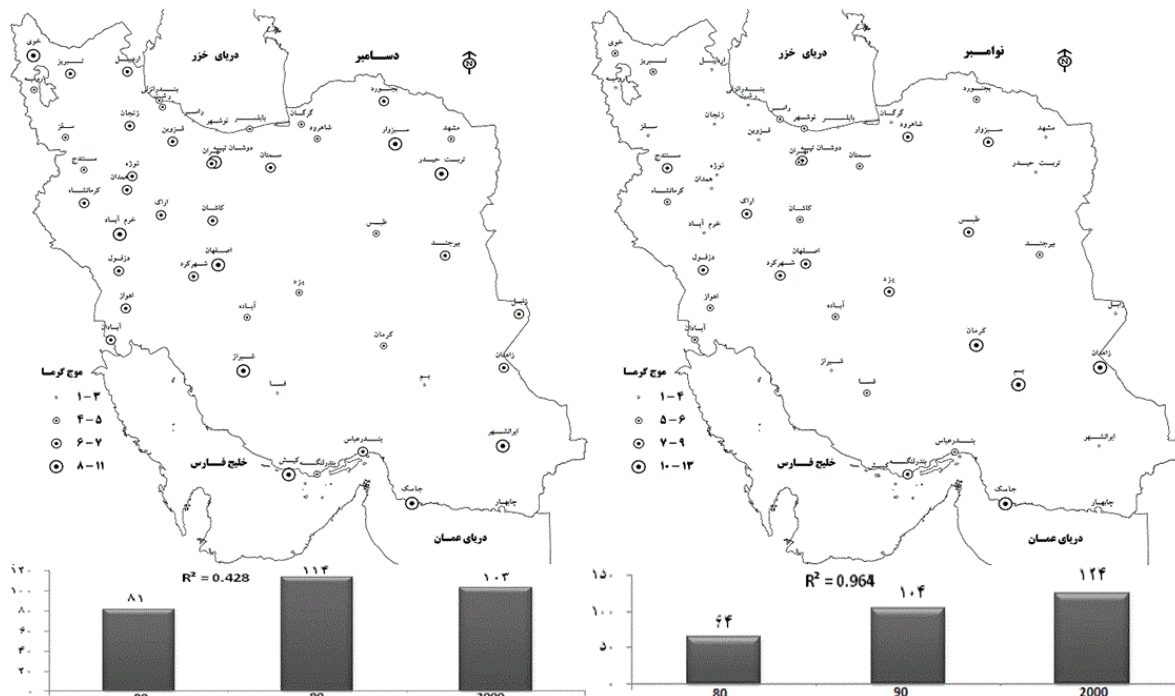
و شمالی، بیشترین موج گرما را دارند. به عبارتی دیگر فراوانی موج گرما از نیمه غربی به شرقی و از مرکز به سمت نیمه شمالی و جنوبی کشور کاهش نشان می‌دهد (شکل ۷). بیشینه موج گرما در دو ایستگاه بندر انزلی در سال ۲۰۰۲ و مشهد در سال ۲۰۱۰ در ماه اکتبر با فراوانی ۳ موج می‌باشد. همچنین سال‌های ۱۹۹۰ تا ۱۹۹۷ با کمترین رخداد و سال ۲۰۰۲ و ۲۰۱۰ بیشترین فراوانی موج گرما در ایران حادث گردید. دهه ۲۰۰۰ با ۱۵۹ موج، بیشترین و دهه ۱۹۹۰ با ۷۰ موج، کمترین وقوع می‌باشد. بررسی زمانی امواج گرما در ایران، طی ۳ دهه حاکی از وجود روند افزایشی در مجموع فراوانی دهه‌ای با مقدار معناداری $R^2 = 0/5$ می‌باشند.



شکل ۷: ادامه شکل قبل

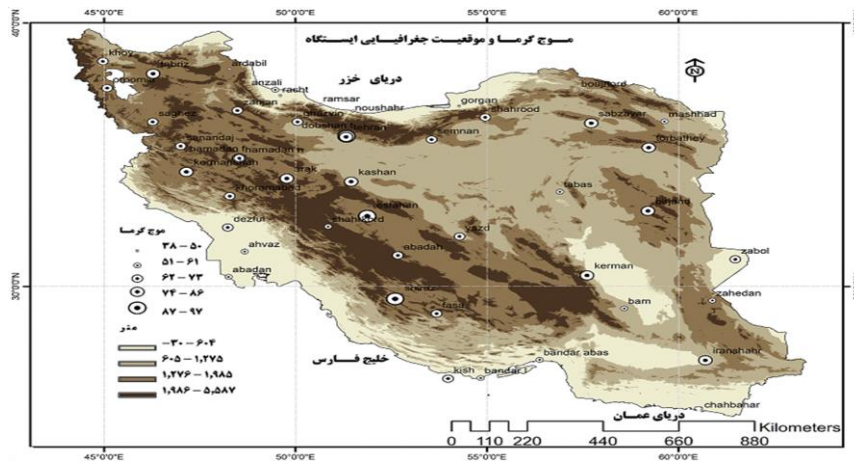
در ماه نوامبر در بخش غالبی از مرکز ایران و زاگرس میانی، تعداد امواج گرمایی افزایش دارد، چنانکه ایستگاه‌های کوهپایه‌ای مرکزی (اطراف دشت لوت)، بیشترین و به سمت شمال کشور و جنوب غربی و جنوب شرقی، فراوانی امواج گرما کاهش نشان می‌دهد (شکل ۸). در ماه نوامبر بیشینه فراوانی امواج گرما ۲ موج در سال، در تعداد زیادی از ایستگاه‌ها مشهود است. در سال ۱۹۹۵ بیشتر ایستگاه‌ها در معرض رخداد موج گرما بوده، از آنجمله، ایستگاه دوشان تپه، مشهد، تربت، تهران و سبزوار می‌باشند. بررسی زمانی امواج گرما در ایران طی ۳ دهه مبین این است که، دهه ۲۰۰۰ با ۱۲۴ مورد بیشترین فراوانی و روند افزایشی معنادار فراوانی دهه‌ای با مقدار $R^2 = 0/9$ مشهود است. در ماه دسامبر بخش عمده ای از غرب و زاگرس بعلاوه شرق و شمال غرب ایران بیشترین وقوع امواج گرمایی را تجربه کرده اند (شکل ۸). در این ماه نیمه غربی کشور و ایستگاه‌های کوهپایه‌ای شمال شرق بیشترین و نواحی ساحلی شمال و اطراف دشت لوت و کویر، کمترین فراوانی را داشته است، و فراوانی موج گرما به سمت شمال روند کاهشی را نشان می‌دهد. بیشینه فراوانی با ۳ مورد در سال در سه ایستگاه

اصفهان و جاسک در سال‌های ۱۹۹۸ و تربت حیدریه در سال ۱۹۸۱ مشاهده گردید. در این ماه سال ۱۹۹۸ و پس از آن ۲۰۰۵، بیش‌ترین رخداد موج گرما و بیش‌ترین فراوانی دهه‌ای امواج گرما در دهه ۱۹۹۰ است. بررسی زمانی امواج گرما در ایران طی ۳ دهه حاکی از وجود روند افزایشی در فراوانی دهه‌ای با مقدار $R^2=0/4$ می‌باشد.



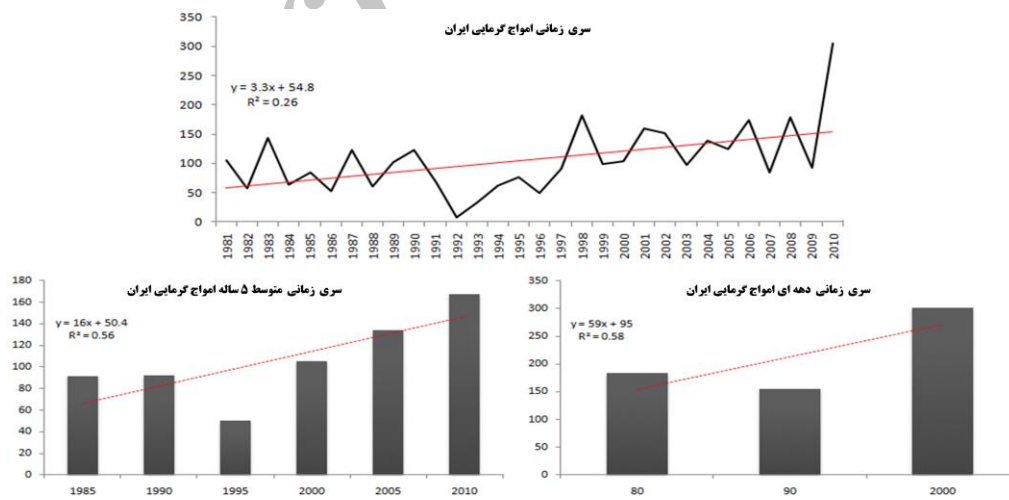
شکل ۸: ادامه شکل قبل

در کل دوره مورد مطالعه، وقوع تعداد موج گرما در نقاط مختلف ایران (شکل ۱۰) حاکی است، بیشترین امواج گرمایی در مناطق کوهپایه ای داخلی ایران بر طبق ناحیه بندی دمایی علیجانی (۱۳۸۵)، حادث گردید. چنانکه به ترتیب منطقه شیراز، دوشان تپه و اصفهان، بیشترین موج گرما با بیش از ۹۰ روز و به طور متوسط ۳ موج در سال طی دوره مطالعه دارند. در مرحله بعد دیگر مناطق کوهپایه داخلی ایران در شمال غرب، شمال شرق، جنوب البرز، کوهپایه های داخل زاگرس و شمال کوه های مکران، بیشینه موج گرما را تجربه کرده اند. از این منطقه به سمت مناطق ساحلی شمال و جنوب ایران از تعداد موج گرما کاسته شده و خزر شرقی و مرکزی کمترین تعداد موج گرما را در طی دوره مورد مطالعه در کل ایران دارند. ایستگاه گرگان و بجنورد به ترتیب با ۳۸ و ۴۳ موج، کمترین موج گرما را تجربه کرده اند. در ساحل دریای خزر، بندر انزلی با تعداد ۵۴ موج گرما و تقریباً متوسط ۲ موج در سال بیشترین موج گرما را دارد، که با مشهد در شمال شرق ایران برابری می کند. تغییرات زمانی امواج گرمایی در ایران، روند افزایشی را نشان می دهد، چنانکه از اواسط دهه ۹۰ به بعد افزایش در تعداد وقوع امواج گرمایی مشهود است و این سال ۲۰۱۰ به بیشترین وقوع می رسد. همچنین متوسط های ۵ ساله و دهه ای امواج گرمایی، روند افزایشی معنی داری را نشان می دهند و دهه ۲۰۰۰، بیشترین وقوع امواج گرمایی در ایران حادث گردید.



شکل ۱۰: تعداد موج گرما طی دوره مورد مطالعه در ایران

سری زمانی امواج گرمایی ایران روند افزایشی معنی داری را در طی زمان نشان می دهد(شکل ۱۱). چنانکه از اواخر دهه ۹۰ به بعد متوسط مکانی امواج گرمایی ایران نسبت به متوسط قبل از این، افزایش داشته است. فلات ایران به ترتیب در سالهای ۱۹۹۲ و ۲۰۱۰، کمترین و بیشترین موج گرما را تجربه کرده است. طبق مطالعات گذشته از اواسط دهه ۹۰ اکثر مناطق ایران خشکسالی های فراگیر و شدیدی را تجربه کرده اند(دوستان، ۱۳۹۴)، که این مساله، ارتباط بین این امواج گرمایی و خشکسالی های با ورود هوای گرم را تایید می کند. همچنین متوسط های پنج ساله از ۱۹۸۱ نشان می دهد که بعد از ۱۹۹۵، امواج گرمایی در ایران افزایش زیادی داشته است و سیر نزولی را طی کرده است. در این سری زمانی، پنج ساله ۱۹۹۱ تا ۱۹۹۵، کمترین امواج گرمایی در ایران حادث گردید و پنج ساله ۲۰۰۶ تا ۲۰۱۰، بیشترین امواج گرمایی را، فلات ایران تجربه کرده است. این سری زمانی نیز، روند افزایشی معنی داری را نشان می دهد. همچنین در سری زمانی دهه ای امواج گرمایی در ایران نیز، روند افزایشی معنی داری مشهود است. در این سری نیز، دهه ۲۰۰۰ بیشترین امواج گرمایی در ایران حادث گردید.



شکل ۱۱: تغییرات زمانی امواج گرمایی ایران

نتیجه‌گیری

کمینه آستانه‌های دمایی در نیمه شمالی و در راستای ارتفاعات و بیشینه، در نیمه جنوبی کشور وجود دارد. نقش عرض جغرافیایی و ارتفاعات در خطوط هم‌آستانه دماهای فرین مشابه دیگر ویژگی‌های دمایی در ایران، مشهود است. بنابراین تغییرات مکانی این پارامتر دمایی در طول سال، از سواحل دریای خزر و شمال غرب ایران به جنوب شرق و جنوب غرب ایران، افزایش نشان می‌دهد. چنانکه، اگر از بیرجند به دزفول خطی افقی ترسیم کنیم، آستانه‌های فرین دمایی در همه ماه‌های سال از این عرض جغرافیایی به بالا کاهش و به طرف پایین، افزایش دارند. طبیعی است، به طور کلی این پارامتر دمایی مرتبط با فرین‌های دمایی در ایران، مشابه پراکنش مناطق حداکثر دما در ایران، تابع عرض جغرافیایی و توزیع ارتفاعات است، اما پراکنش فضایی رخداد پدیده موج گرما به عنوان یک مخاطره طبیعی، متفاوت از پراکنش آستانه‌های دمایی و حداکثر دماها در ایران می‌باشد. به لحاظ زمانی در طول سال، وقوع امواج گرمایی بجز ماه می با حداکثر ۶ موج و ماه ژوئن با حداکثر ۱۶ موج گرما (به ترتیب ماه‌های حداقل و حداکثر وقوع)، در دیگر ماه‌های سال به طور متوسط بین ۹ تا ۱۴ موج گرما در ایران حادث می‌گردد، که در ماه‌های سرد سال، حداقل و در ماه‌های گرم سال افزایش نسبی را نشان می‌دهند. بنابراین در همه ماه‌های سال، دوره گرم و دوره سرد، امکان وقوع امواج گرمایی در ایران وجود دارد و تفاوت خیلی زیادی بین این دو دوره نیست. این نشان می‌دهد که در وقوع امواج گرمایی ایران، هم عوامل درونی (محلی) و هم عوامل بیرونی (توده‌های هوا) نقش دارند. به ترتیب از ماه ژانویه و فوریه، تعداد امواج گرمایی افزایش و از ماه ژوئن سیر نزولی دارد و این ترتیب زمانی را ماه می با کاهش شدید (۶ موج گرما کاهش نسبت به ماه قبل) بر هم می‌زند، در ماه می کمترین موج گرما در ایران اتفاق می‌افتد، که چرایی این مطلب، نیاز به مطالعه دقیق دارد. به لحاظ مکانی نیز در طول سال، بیشترین امواج گرمایی در مناطق کوهپایه‌ای شرق زاگرس، ارتفاعات زاگرس و جنوب البرز میانی و غربی و کوهپایه‌های جنوب بینالود در شمال شرق وجود دارد، به سمت مرکز ایران و اطراف دشت‌های بزرگ (لوت و کویر) از تعداد امواج گرمایی کاسته می‌شود. هسته‌های موج گرم زمستان ایران نیز بر مناطق فوق منطبق است (براتی و همکاران (۱۳۸۴))، کمترین وقوع امواج گرمایی در سواحل خزر شرقی، مرکزی و غربی، سواحل جنوب ایران، جنوب غرب و غرب زاگرس و مرکز ایران مشهود است. در ساحل دریای خزر، گیلان بیشترین امواج گرمایی را در سال و خصوصاً ماه ژوئن، ژوئیه (رشت) و اکتبر (انزلی) تجربه می‌کنند. که در دیگر مطالعات و گزارشات مربوط به وقوع موج گرما در این منطقه نیز، مشاهده گردید (علیجانی و همکاران، ۱۳۹۲). بنابراین موج گرما چیزی جدای از حداکثرهای دمایی است، چرا که در ایران، برعکس مناطق بیشینه دمایی و بیشینه‌های آستانه دمایی فرین، مناطق بیشینه موج گرما، منطبق بر منطقه کوهپایه‌ای و مرتفع قرار دارند و به سمت مناطق پست ساحلی و مرکزی ایران از تعداد امواج گرمایی کاسته می‌شود. در شمال شرقی ایران دو ایستگاه تربت حیدریه و سبزوار نسبت به ایستگاه مشهد، موج گرمای بیشتری دارند، و آیا موقعیت ایستگاه نسبت به جهت ارتفاعات در وقوع امواج گرمایی موثرتر است؟ خزر غربی نسبت به خزر شرقی و میانی، موج گرمای بیشتری را تجربه می‌کند، در حالیکه اقلیم گیلان مرطوبتر بوده و شرق خزر خشک تر می‌باشد، پس اقلیم‌های مرطوب و جنگلی نیز در معرض وقوع موج گرما و خسارتهای محیطی بیشتری قرار دارند. از طرفی ایستگاههای پست مرکزی در حاشیه کویرهای بزرگ ایران، تعداد موج گرمایی کمی دارند. بنابراین در درجه اول مناطق کوهپایه‌ای داخلی و مناطق مرتفع در زاگرس مناطق بیشینه موج گرما

می باشند و از مرکز به بیرون ایران اگر در نظر بگیریم، مناطق پست با موج گرمای کم، کوهپایه داخلی زیاد، مرتفع متوسط و کوهپایه بیرونی کم و سواحل ایران حداقل موج گرما را تجربه می کنند. ایستگاه زابل و بیرجند، موج گرمای بیشتری از زاهدان در عرض پایین تر دارند، بنابراین عرض جغرافیایی نمی تواند نقشی در وقوع امواج گرمایی در این منطقه داشته باشد، اما ایستگاه کرمان با ارتفاع ۱۷۰۰ متر نسبت به بم با ارتفاع ۹۰۰ متر، موج گرمای بیشتری را تجربه می کند. بنابراین ارتفاع ایستگاه عامل تعیین کننده در وقوع موج گرما در این منطقه است. ایستگاه سبزوار و مشهد با ارتفاع تقریباً ۱۰۰۰ متر در دو طرف کوه بینالود (مشهد در شمال و سبزوار در جنوب این رشته کوه در شمال شرقی ایران، امواج گرمایی متفاوتی را در طول سال تجربه می کنند و سبزوار یکی از مناطق بیشینه موج گرما در ایران است. بنابراین موقعیت منطقه نسبت به جهت قرار گیری رشته کوهها در وقوع موج گرما تاثیر گذار است. انزلی و گرگان تقریباً ارتفاع آنها صفر است و در عرض ۳۷ درجه قرار دارند، آیا دوری و نزدیکی به دریا یا کوه در وقوع موج گرما و یا میزان رطوبت و یا طول جغرافیایی، مؤثرتر است؟ بنابراین این رخداد اقلیمی مثل دیگر پدیده های اقلیمی، ذاتاً با تغییرات مکانی زیادی در فلات متنوع ایران، حادث می گردد، وقوع این پدیده نیز مانند اقلیم ایران، متنوع بوده و با سوالات زیادی روبرو است، اما با کمی دقت متوجه می شویم که این پدیده در مناطق مختلف ایران و در زمانهای مختلف در طی سال، از رفتار منطقی برخوردار است که نیاز به مطالعه بیشتر و دقیق تر دارد. آیا می توان، مدلی برای چگونگی رفتار پراکنش مکانی امواج گرمایی در ایران نوشت؟ همچنین رفتار زمانی این مخاطره اقلیمی نیز مشابه دیگر مخاطرات محیطی در فلات ایران، معنی داری افزایشی است و کاهش پیامدهای زیست محیطی و انسانی این پدیده اقلیمی، نیاز به برنامه ریزی و مدیریت دارد.

منابع

- اسدی، اشرف. ۱۳۹۳. بررسی پراکنش زمانی- مکانی دماهای فرین گرم در ایران. *پژوهش های محیط زیست*، ۹: ۵۹-۷۲.
- اسمعیل نژاد، مرتضی؛ محمود خسروی، بهلول علیجانی و ابوالفضل مسعودیان. ۱۳۹۲. شناسایی امواج گرمایی ایران. *جغرافیا و توسعه*، ۳۳: ۳۹-۵۳.
- براتی، غلامرضا؛ شفیق موسوی. ۱۳۸۴. جابجایی مکانی موج های زمستانی گرما در ایران. *جغرافیا و توسعه*، ۵: ۴۱-۵۲.
- جهانبخش، سعید؛ سیما ترابی. ۱۳۸۳. بررسی و پیش بینی دما و بارش در ایران. *تحقیقات جغرافیایی*، ۱۰۴: ۱۰۴-۱۲۵.
- دوستان، رضا. ۱۳۹۴. تحلیلی بر خشکسالی های ایران در نیم قرن گذشته. *پژوهش های اقلیم شناسی*، ۲۳-۲۴: ۱-۱۸.
- شیرمحمدی، زهرا؛ علی اکبر خانی، حسین انصاری، امین علیزاده و آزاده محمدیان. ۱۳۹۱. بررسی ارتباط پدیده انسو با مقادیر حدی بارش های فصلی در استان های خراسان، *پژوهش های حفاظت آب و خاک*، ۱، ۶۱-۷۹.
- علیجانی، بهلول؛ محمدرضا ثروتی و عمران علی زاده ویلنی. ۱۳۹۲. طبقه بندی موج گرما در استان گیلان. *جغرافیای طبیعی*، ۱۹: ۱-۱۶.
- علیجانی، بهلول. ۱۳۸۵. *آب و هوای ایران*. چاپ دوم. انتشارات پیام نور، تهران.
- قویدل رحیمی، یوسف. ۱۳۹۰. شناسایی، طبقه بندی و تحلیل همدید موج ابر گرم تابستان ۱۳۸۹ ایران. *مطالعات جغرافیایی مناطق خشک*، ۳: ۸۵-۱۰۰.

مجرد، فیروز؛ جعفر معصوم‌پور و طیبیه رستمی. ۱۳۹۴. تحلیل آماری-همدیدی امواج گرمایی بالای ۴۰ درجه سلسیوس در غرب ایران. *جغرافیا و مخاطرات محیطی*، ۱۳، ۴۱-۵۸.

محمدی؛ حسین و فرهنگز تقوی. ۱۳۸۴. روند شاخص‌های حدی دما و بارش در تهران. *پژوهش‌های جغرافیایی*، ۵۳: ۱۵۱-۱۷۲.

Alijani, B.; J. O'Brien and B.Yarnal. ۲۰۰۸. Spatial analysis of precipitation intensity and concentration in Iran. *Theoretical and Applied Climatology*, ۹۴: ۱۰۷-۱۲۴. DOI ۱۰.۱۰۰۷/s۰۰۷۰۴-۰۰۷-۰۳۴۴-y

Changnon, S. A.; K. E. Kunkel and B. C. Reinke. ۱۹۹۶. Impacts and responses to the ۱۹۹۵ heat wave: A call to action. *Bulletin of the American Meteorological Society*, ۷, ۱۴۹۷-۱۵۰۶. DOI [http://dx.doi.org/۱۰.۱۱۷۵/۱۵۲۰-۰۴۷۷\(۱۹۹۶\).۷۷<۱۴۹۷:IARTTH>۲.۰.CO;۲](http://dx.doi.org/۱۰.۱۱۷۵/۱۵۲۰-۰۴۷۷(۱۹۹۶).۷۷<۱۴۹۷:IARTTH>۲.۰.CO;۲)

Cueto, R. O. G.; A. T. Martínez and E. J. Ostos. ۲۰۱۰. Heat waves and heat days in an arid city in the northwest of Mexico: current trends and in climate change scenarios. *International journal of biometeorology*, ۴, ۳۳۵-۳۴۵. DOI ۱۰.۱۰۰۷/s۰۰۴۸۴-۰۰۹-۰۲۸۳-۷

DeGaetano, A. T and R. J. Allen. ۲۰۰۲. Trends in twentieth-century temperature extremes across the United States. *Journal of Climate*, ۲۲, ۳۱۸۸-۳۲۰۵. DOI [http://dx.doi.org/۱۰.۱۱۷۵/۱۵۲۰-۰۴۴۲\(۲۰۰۲\).۱۵<۳۱۸۸:TITCTE>۲.۰.CO;۲](http://dx.doi.org/۱۰.۱۱۷۵/۱۵۲۰-۰۴۴۲(۲۰۰۲).۱۵<۳۱۸۸:TITCTE>۲.۰.CO;۲)

Diaz, H. F and R. J. Murnane. ۲۰۰۸. *Climate extremes and society*: Cambridge University Press. <http://www.cambridge.org/catalogue/catalogue.asp?isbn=۹۷۸۰۵۲۱۸۷۰۲۸۳>

Ding, T.; W. Qian and Z. Yan. ۲۰۱۰. Changes in hot days and heat waves in China during ۱۹۶۱-۲۰۰۷. *International Journal of Climatology*, ۱۰, ۱۴۵۲-۱۴۶۲. DOI ۱۰.۱۰۰۲/joc.۱۹۸۹

Dixit, P. N and D. Chen. ۲۰۱۰. Farm-scale zoning of extreme temperatures in Southern Mallee, Victoria, Australia. *Biosystems engineering*, ۲, ۱۹۸-۲۰۴. DOI <http://dx.doi.org/۱۰.۱۰۱۶/j.biosystemseng.۲۰۰۹.۱۰.۰۰۸>

Gosling, S.; G. McGregor and J. Lowe. ۲۰۰۹. Climate change and heat-related mortality in six cities. *Part, ۲*, ۳۱-۵۱. DOI ۱۰.۱۰۰۷/s۰۰۴۸۴-۰۰۷-۰۰۹۲-۹

Haddow, G.; J. A. Bullock and K. Haddow. ۲۰۰۸. *Global warming, natural hazards, and emergency management*: CRC Press.

Matthies, F.; G. Bickler, N.C. Marín and S. Hales. ۲۰۰۸. *Heat-health action plans: guidance*: World Health Organization.

Manton, M.; P. DellaMarta, M. Haylock, K. Hennessy, N. Nicholls, L. Chambers, D. Gunawan. ۲۰۰۱. Trends in extreme daily rainfall and temperature in Southeast Asia and the South Pacific: ۱۹۶۱-۱۹۹۸. *International Journal of Climatology*, ۳, ۲۶۹-۲۸۴. DOI ۱۰.۱۰۰۲/joc.۶۱۰

Robinson, P. J. ۲۰۰۱. On the definition of a heat wave. *Journal of Applied Meteorology*, ۴, ۷۶۲-۷۷۵. DOI [http://dx.doi.org/۱۰.۱۱۷۵/۱۵۲۰-۰۴۵۰\(۲۰۰۱\).۰۴<۰۷۶۲:OTDOAH>۲.۰.CO;۲](http://dx.doi.org/۱۰.۱۱۷۵/۱۵۲۰-۰۴۵۰(۲۰۰۱).۰۴<۰۷۶۲:OTDOAH>۲.۰.CO;۲)

Smith, K. ۲۰۱۳. *Environmental hazards: assessing risk and reducing disaster*: Routledge.

Kovats, R. S and S. Hajat. ۲۰۰۸. Heat stress and public health: a critical review. *Annu. Rev. Public Health*, ۲۹, ۴۱-۵۵. DOI ۱۰.۱۱۴۶/annurev.publhealth.۲۹.۰۲۰۹۰۷.۰۹۰۸۴۳

Unkašević, M and I. Tošić. ۲۰۰۹. An analysis of heat waves in Serbia. *Global and Planetary Change*, ۱, ۱۷-۲۶. DOI <http://dx.doi.org/۱۰.۱۰۱۶/j.gloplacha.۲۰۰۸.۱۰.۰۰۹>

Zhang, Q.; C.Y. Xu, Z. Zhang, G. Ren and Chen, Y. ۲۰۰۸. Climate change or variability? The case of Yellow river as indicated by extreme maximum and minimum air temperature during ۱۹۶۰-۲۰۰۴. *Theoretical and Applied Climatology*, ۱-۲, ۳۵-۴۳. DOI ۱۰.۱۰۰۷/s۰۰۷۰۴-۰۰۷-۰۳۲۸-y